

# 임의 형상 평판의 고정밀도 자유진동해석을 위한 분할영역법 기반 NDIF 법 개발

## Development of the NDIF method for accurate free vibration analysis of arbitrarily shaped plates using a sub-domain method

강상욱† · 이수일\*

S. W. Kang and S. I. Lee

### 1. 서 론

임의 형상 평판의 고유치 및 고유모드를 추출하기 위한 다양한 연구 결과들이 많이 발표되어 있는 상태이다. 본 논문의 저자는 다양한 경계 조건을 가진 임의 형상 평판의 고정밀도 고유치 추출을 위한 방법으로, NDIF 법(method of Non-dimensional Dynamic Influence Function)을 처음 개발하였다<sup>(1, 2)</sup>. NDIF 법은 블록 평판에는 정확한 결과를 제공하나, 오목 평판에 대해서는 해의 정밀도가 떨어지는 단점을 가진다. 본 논문에서는 상기 단점을 극복하기 위하여, 해석 대상 오목 평판의 영역을 여러 개의 블록 영역으로 분할한 다음, 각각의 블록 영역에 대해 NDIF 법을 적용하는 방안이 연구되었다.

### 2. 이론 정식화

#### 2.1 지배방정식과 경계조건

단순지지 경계조건을 가진 평판은 고정 경계조건을 가진 멤브레인과 진동 특성 면에서 유사성을 가지기 때문에<sup>(3)</sup>, 평판의 자유진동 운동 방정식과 경계조건은 식(1, 2)와 같이 각각 표현될 수 있다.

$$\nabla^2 W + \Lambda^2 W = 0, \quad W_\Gamma = 0, \quad (1, 2)$$

여기서  $W$  는 평판의 진동변위를 뜻한다. 그리고, 평판의 고유진동수는 식(3)에 의해, 고유치로부터 환산될 수 있다.

$$f_i = (\Lambda_i^2 / 2\pi) \sqrt{D / \rho_s}, \quad (3)$$

여기서  $f_i$  는  $i$  번째 고유진동수,  $\Lambda_i$  는  $i$  번째 고유치를 뜻한다.

#### 2.2 영역 분할과 국부 시스템 행렬식 추출

Fig. 1 은 본 논문의 해석 대상 평판인 임의 형상 오목 평판을 보여준다. 오목 평판을 먼저 두 개의 블록 영역  $D_I$  와  $D_{II}$  로 분할한 후 각각의 영역을 여러 개의 노드로 분할한다. 그리고, 각각의 영역에 대해 기존의 NDIF 법을 적용하면 다음의 두 개의 국부 시스템 행렬식들을 얻을 수 있다.

$$\mathbf{SM}_I \mathbf{A}_I = \mathbf{U}_I, \quad \mathbf{SM}_{II} \mathbf{A}_{II} = \mathbf{U}_{II}, \quad (4, 5)$$

여기서 행렬  $\mathbf{SM}_I$  와  $\mathbf{SM}_{II}$  는 영역  $D_I$  와  $D_{II}$  에 대한 시스템행렬을 나타내며, 벡터  $\mathbf{A}_I$  와  $\mathbf{A}_{II}$  는 영역  $D_I$  와  $D_{II}$  에 대한 기여도벡터를 나타내며, 각각  $\mathbf{U}_I$  와  $\mathbf{U}_{II}$  는 경계  $\Gamma_I + \tilde{\Gamma}_a$  와  $\Gamma_{II} + \tilde{\Gamma}_a$  에서의 변위벡터를 뜻한다.

다음으로, 식(4, 5)는 다음과 같이 경계 노드와 접경 노드에 대한 식으로 분리한다.

$$\mathbf{SM}_{I1} \mathbf{A}_1 + \mathbf{SM}_{Ia} \mathbf{A}_a = \mathbf{U}_I, \quad (6)$$

$$\mathbf{SM}_{a1} \mathbf{A}_1 + \mathbf{SM}_{aa} \mathbf{A}_a = \mathbf{U}_a, \quad (7)$$

$$\mathbf{SM}_{22} \mathbf{A}_2 + \mathbf{SM}_{2a} \mathbf{A}_a = \mathbf{U}_2, \quad (8)$$

$$\mathbf{SM}_{a2} \mathbf{A}_2 + \mathbf{SM}_{aa} \tilde{\mathbf{A}}_a = \tilde{\mathbf{U}}_a, \quad (9)$$

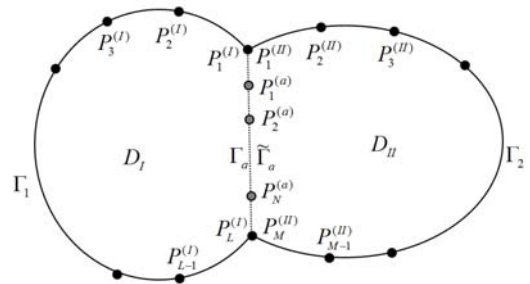


Fig. 1 Concave plate divided with 2 convex domains

† 교신저자; 정희원, 한성대학교 기계시스템공학과

E-mail : swkang@hansung.ac.kr

Tel : 02-760-4228, Fax : 02-760-4329

\* 서울시립대학교 기계정보공학과

여기서  $\mathbf{U}_1$  과  $\mathbf{U}_2$  는 각각 경계  $\Gamma_1$  과  $\Gamma_2$  위에 있는 노드들에 대한 변위벡터를 뜻하며,  $\mathbf{U}_a$  와  $\tilde{\mathbf{U}}_a$  는 각각 접경  $\Gamma_a$  와  $\tilde{\Gamma}_a$  위에 있는 노드들에 대한 변위벡터를 뜻한다.

실제 평판의 경계 변위는 0 이므로, 식(6, 8)에  $\mathbf{U}_1 = \mathbf{U}_2 = 0$  를 적용하면, 식(6, 8)은 다음과 같이 된다.

$$\mathbf{A}_1 = -\mathbf{SM}_{11}^{-1} \mathbf{SM}_{1a} \mathbf{A}_a, \quad (10)$$

$$\mathbf{A}_2 = -\mathbf{SM}_{22}^{-1} \mathbf{SM}_{2a} \tilde{\mathbf{A}}_a. \quad (11)$$

식(10, 11)을 각각 식(7, 9)에 대입하고, 접경에서의 연속조건인 변위연속조건과 기울기연속조건  $\mathbf{U}_a = \tilde{\mathbf{U}}_a$  와  $\partial \mathbf{U}_a / \partial n = \partial \tilde{\mathbf{U}}_a / \partial n$  을 고려한다면, 다음과 같은 최종 시스템 행렬식을 얻을 수 있다.

$$\mathbf{SM}(\Lambda) \mathbf{A} = \mathbf{0}, \quad (12)$$

여기서  $\mathbf{SM}(\Lambda)$  와  $\mathbf{A}$  는 두 영역  $D_I$  와  $D_{II}$  에 대한 전체 시스템행렬과 전체 기여도 벡터를 뜻하며, 다음과 같이 구성된다.

$$\mathbf{SM} = \begin{bmatrix} \mathbf{SM}_{aa} - \mathbf{SM}_{a1} \mathbf{SM}_{11}^{-1} \mathbf{SM}_{1a} & \mathbf{SM}_{a2} \mathbf{SM}_{22}^{-1} \mathbf{SM}_{2a} - \mathbf{SM}_{aa} \\ \mathbf{SM}'_{aa} - \mathbf{SM}'_{a1} \mathbf{SM}'_{11}^{-1} \mathbf{SM}'_{1a} & \mathbf{SM}'_{a2} \mathbf{SM}'_{22}^{-1} \mathbf{SM}'_{2a} - \mathbf{SM}'_{aa} \end{bmatrix},$$

$$\mathbf{A} = \begin{Bmatrix} \mathbf{A}_a \\ \tilde{\mathbf{A}}_a \end{Bmatrix}, \quad (13, 14)$$

여기서  $\mathbf{SM}'_i = \partial \mathbf{SM}_i / \partial n$ .

마지막으로 해석 대상 평판의 고유치는 식(13)의 시스템행렬의 판별식  $\det[\mathbf{SM}(\Lambda)] = 0$  의 해로부터 구할 수 있으며, 고유치는 식(3)에 의해 고유진동수로 환산된다.

### 3. 증명 예제

본 연구에서 정식화된 이론의 정확성을 검증하기 위하여 여러 가지 형상의 평판을 고려하였으나, 지면 관계상 Fig. 2 와 같은 알파벳 L 자 형상을 가진 평판에 대한 검증 예제만을 제시한다. 본 예제에서는 두께(h)가 0.005m, 영률(E)이 210GPa, 프와송

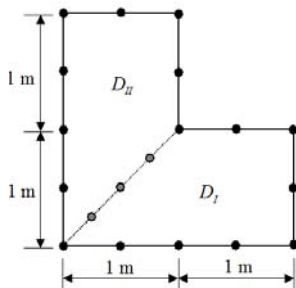


Fig. 2 L-shaped, concave plate divided with 2 domains

Table 1 Natural frequencies of the L-shaped plate

Natural frequency	Proposed method		FEM
	19 nodes	27 nodes	1322 nodes
1	2.540	2.492	2.414
2	3.738	3.777	3.796
3	4.920	4.920	4.942
4	7.359	7.359	7.386
5	8.425	8.166	8.024
6	10.127	10.512	10.448

비( $\nu$ )가 0.3, 밀도( $\rho_s / h$ )가 7800kg/m<sup>3</sup> 인 물성치를 가진 평판이 사용되었다.

Fig. 1 에서와 같이 해석 대상 오목 평판은 두 개의 볼록 영역으로 나누는 방법으로 분할영역법에 근거한 NDIF 법이 적용되었다. 본 논문에서 제안된 방법에 의해 구한 고유진동수 결과는 Table 1 에 제시되어 있으며, 1322 개를 사용한 FEM (NASTRAN) 해석 결과와 비교해볼 때, 아주 적은 개수의 노드를 사용함에도 불구하고 본 논문에서 구한 고유진동수들이 정확한 결과를 제공하고 있음을 확인할 수 있다.

### 4. 결론

본 논문에서는 단순지지 경계조건을 가진 오목 평판의 고유진동수를 정확하게 구할 수 있는 방법으로, 분할영역법 기반 NDIF법에 대한 이론 정식화가 성공적으로 이루어졌으며, 향후 고정단 및 자유단 경계조건에도 본 이론을 확장할 예정이다.

### 후기

이 논문은 2010 년도 정부(교육과학기술부)의 재원으로 한국연구재단의 지원을 받아 수행된 기초연구사업임(2010-0009422).

### 참고문헌

- (1) Kang, S. W. and Lee, J. M., 1999, "Vibration analysis of arbitrarily shaped membrane using non-dimensional dynamics influence function," Journal of Sound and Vibration, Vol. 221, pp. 117~132.
- (2) Kang, S. W. and Lee J. M., 2001, "Free vibration analysis of arbitrarily shaped plates with clamped edges using wave-type functions," Journal of Sound and Vibration. Journal of Sound and Vibration. Vol. 242. No. 1, pp. 9~26.
- (3) Blevins, R. D., 1979, Formulas for Natural Frequency and Mode Shape, New York: Litton Education Publishing.